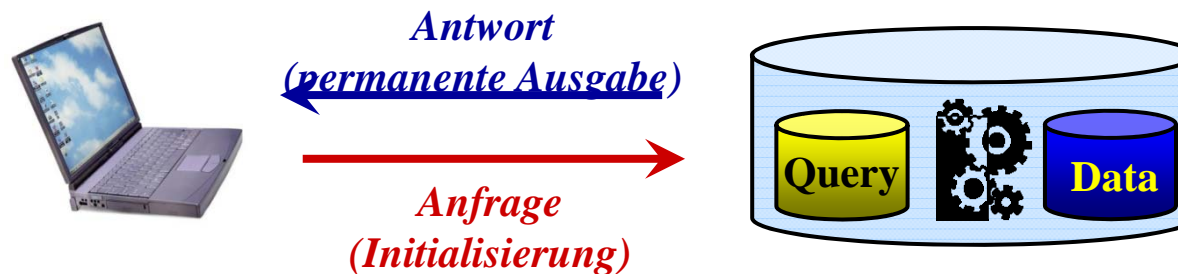


## 3.3 Methoden für kontinuierliche Anfragen (Continuous (Monitoring) Queries)

### 3.3.1 Allgemeines:

- Eine kontinuierliche Anfrage gibt zu einem gegebenen räumlichen Anfrageprädikat  $P$  die entsprechenden Ergebnisse für alle Zeitpunkte innerhalb eines (oder mehrere) gültige(n) Zeitbereiche(s)



- Typen von Objekten:
  - 1) Trajektorien aller beweglichen Objekte sind bekannt
  - 2) Objekte bewegen sich frei im Raum

### 3.3.2 Ansätze zu Methoden für kontinuierliche Anfragen

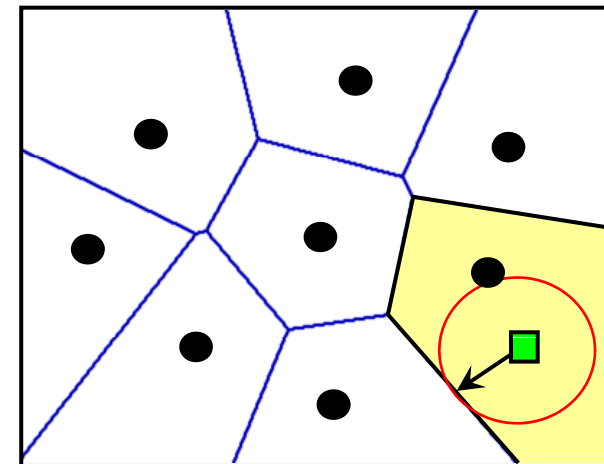
- Naiver Ansatz: Periodische Auswertung von Snapshot-Anfragen in der Gegenwart (siehe Kap. 3.2.3).

Probleme:

- Starke Redundanz von Auswertungsoperationen.
  - Es werden jedesmal ähnliche Antworten ausgegeben (Großer Overhead in der Antwortmenge).
  - Starke Verzögerung bei der Beantwortung von Anfragen (Echtzeitfähigkeit gefährdet!!!).
- Weitere Ansätze basieren auf den folgenden Prinzipien:
    - *Result Validation*
    - *Result Caching*
    - *Result Prediction*
    - *Incremental Evaluation*

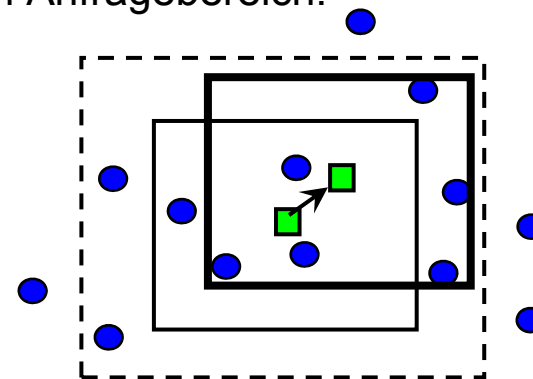
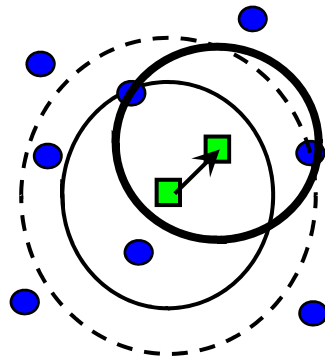
– Prinzip des *Result Validation*:

- Idee:
  - Verknüpfung von Anfrageergebnisse an Gültigkeitsbedingungen.
- Gültigkeitsattribute:
  - **Gültigkeitszeit**  $t_{\text{valid}}$ : Bestimmt das Zeitintervall für das die aktuelle Antwort ihre Gültigkeit behält.
  - **Gültigkeitsregion**  $r_{\text{valid}}$  (safe region): Solange ein Objekt sich in seiner Gültigkeitsregion aufhält behält die aktuelle Antwort ihre Gültigkeit.
- Beispiel: Prinzip der Safe Regions bei der NN-Anfrage
  - DB-Objekte stationär.
  - Anfrageobjekt bewegt sich .
  - Über Voronoi-Diagramm ist die NN-Nachbarschaft aller DB-Objekte vorberechnet.
  - Solange sich das Anfrage-Objekt innerhalb einer Voronoizelle (safe region) aufhält muß keine Aktualisierung des aktuellen Ergebnis erfolgen.
- Herausforderung: Bestimmung von  $t_{\text{valid}}$  bzw.  $r_{\text{valid}}$



## – Prinzip des *Result Caching*:

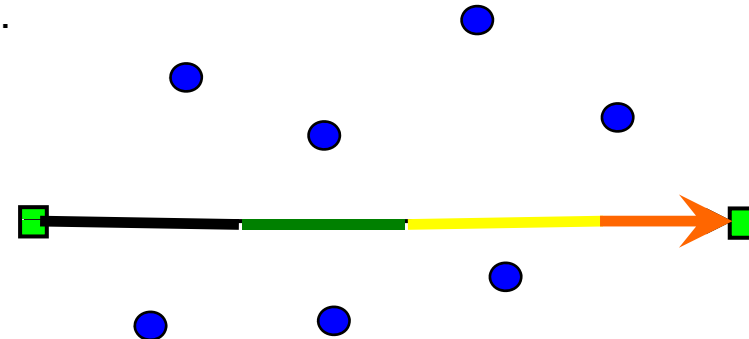
- Idee:
  - Antwortmengen von direkt aufeinanderfolgenden Anfragen sind sehr ähnlich zueinander.
  - Bei der Bearbeitung einer Anfrage werden mehr Objekte gesucht als für die aktuelle Antwort nötig sind (*caching* möglicher Ergebnisse zukünftiger Anfrageiterationen).
- Beispiele:
  - kNN Anfragen: Suche mehr als die k nächsten Nachbarn.
  - Bereichsanfragen: Vergrößere den Anfragebereich.



- Herausforderung:
  - Bestimmung wieviel Vorberechnet werden muß (Cache Overhead)

– Prinzip des *Result Prediction*:

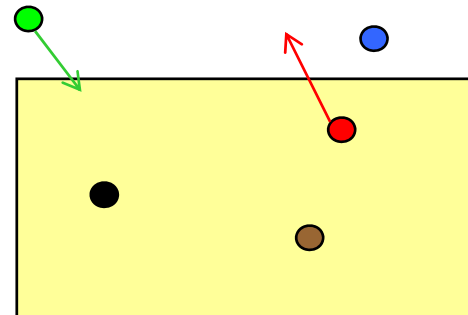
- Idee:
  - Falls die zukünftige Bewegung der Objekte bekannt ist, kann das Anfrageergebnis vorberechnet werden.
  - Berechnung kann z.B. durch den TPR-Baum unterstützt werden.
- Beispiel:
  - Kontinuierliche NN Anfrage.
  - Die Trajektorie ist in Segmente aufgeteilt, sodaß für jedes Segment das NN Anfrageergebnis eindeutig ist.



- Die Anfrage wird als Snapshot-Anfrage ausgeführt.
- Sie behält Ihre Gültigkeit für einen längeren Zeitraum.
- Sobald sich die Trajektorie ändert wird das Anfrageergebnis aktualisiert.

– Prinzip des *Incremental Evaluation*:

- Idee:
  - Änderungen sind oft nur sehr lokal.
  - Anfrage wird einmalig ausgeführt.
  - Dann wird lediglich die Antwortmenge aktualisiert falls notwendig.
- Unterscheidung zwischen *positiven* und *negativen* Aktualisierungen.
- Positive Aktualisierung: Hinzufügen von Objekten
- Negative Aktualisierung: Entfernen von Objekten
- Nur Objekte die die Grenze der Anfrageregion überschreiten sind zu berücksichtigen.

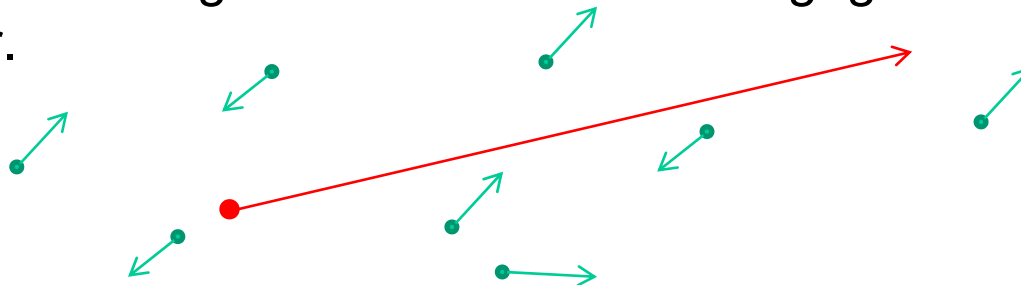


- Herausforderung:
  - Erkennung wann ein Objekt die Grenze der Anfrageregion überschreitet.

### 3.3.3 Methoden für Kontinuierliche Anfragen mit bekannten Trajektorien

– Annahme:

- Trajektorien der Objekte sind bekannt (zumind. bis zu einem gegebenen gültigen Zeithorizont)
- Objekte bewegen sich innerhalb eines gegebenen Zeithorizonts linear.



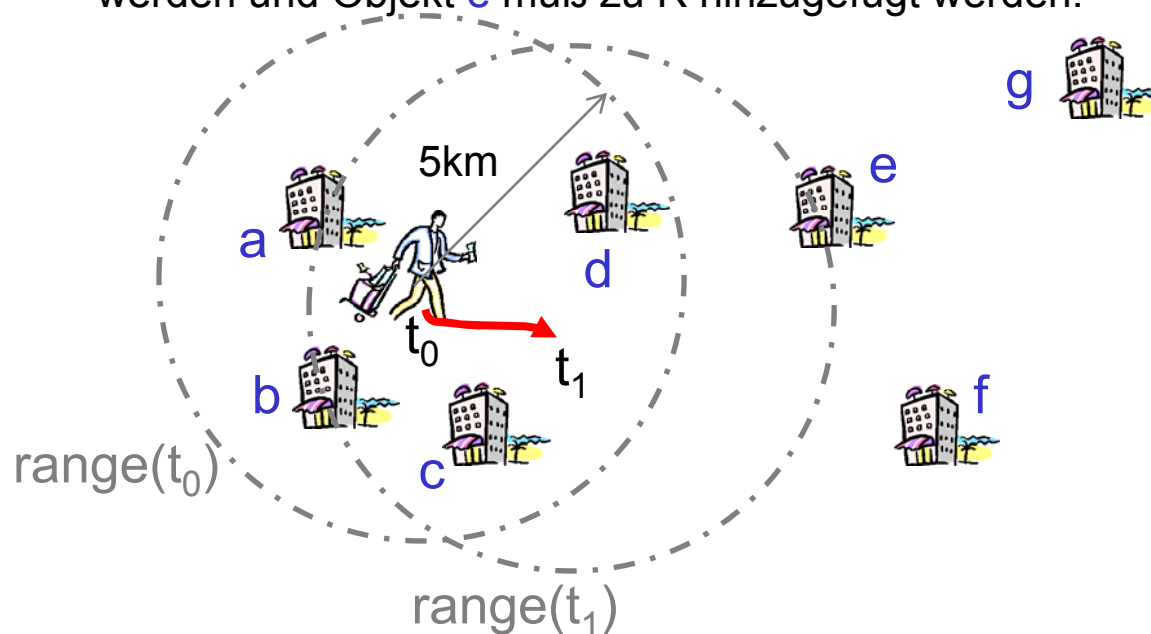
– Im Folgenden werden zwei Ansätze diskutiert:

- Zeit-parametrisierte Fenster- und NN-Anfragen (TP-Queries) [TP02]
  - Prinzip des **Result Validation**.
- Kontinuierliche NN-Anfragen (CNN) [TPS02]
  - Prinzip des **Result Prediction**.

- Zeit-Parametrisierte (TP-) Anfragen in ST-DBS
  - Basieren auf dem Prinzip *Result Validation* (siehe 3.3.2).
  - Eine Zeit-Parametrisierte Anfrage gibt Triple (R,T,C) als Antwort zurück:
    - R: Menge von Objekten, die das Anfrageprädikat zum Zeitpunkt  $t_0$  (Gegenwart) erfüllen.
    - T: Entspricht Zeitpunkt  $t_1$  bis zu dem das (aktuelle) Anfrageergebnis gültig bleibt. (Gültigkeitszeit)
    - C: Menge von Objekten die das aktuelle Ergebnis R zum Zeitpunkt  $t_1$  beeinflussen.
  - Mit den Mengen C und R kann das initiale Ergebnis zum Zeitpunkt T aktualisiert werden.
  - Herausforderung: Berechnung von T und C
  - Unterstützung der Anfrage durch Index:
    - Unterstützung der Anfrage durch Verwendung des TPR-Baums zur Indexierung der Datenbankobjekte.
    - Anfrage beschränkt auf den Zeithorizont für den die gegebenen Objekttrajektorien (inkl. Anfrageobjekttrajektorie) gültig sind.



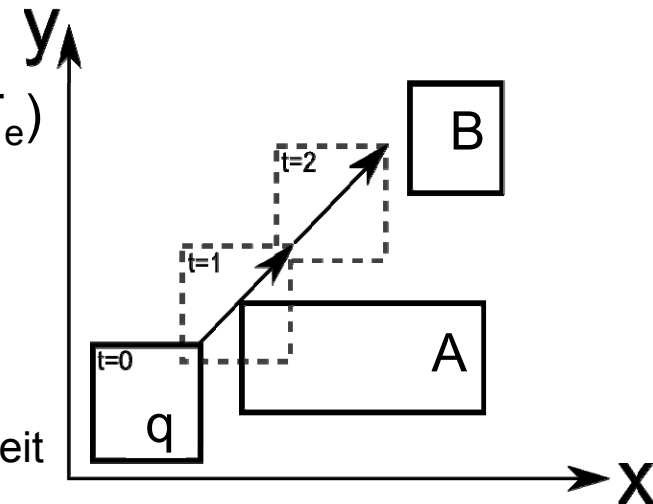
- Beispiel:
  - Ein Reisender fragt alle Hotels im Umkreis von 5km zur aktuellen Position (Position zu Zeitpunkt  $t_0$ ) an.
  - Zusätzlich zur aktuellen Ergebnismenge  $R = \{a, b, c, d\}$ , die aktuell in der Nähe des Reisenden liegt,
  - enthält das Ergebnis die Zeit  $T = t_1 = t_0 + 7 \text{ Min.}$ , bis zu der die Antwort aktuell ist (gegeben die Richtung und Geschwindigkeit des Reisenden),
  - und zusätzlich die Objekte  $C = \{a, b, e\}$ , Objekten die das aktuelle Ergebnis  $R$  zum Zeitpunkt  $t_1$  beeinflussen, d.h. Objekte  $a, b$  müssen aus  $R$  entfernt werden und Objekt  $e$  muß zu  $R$  hinzugefügt werden.



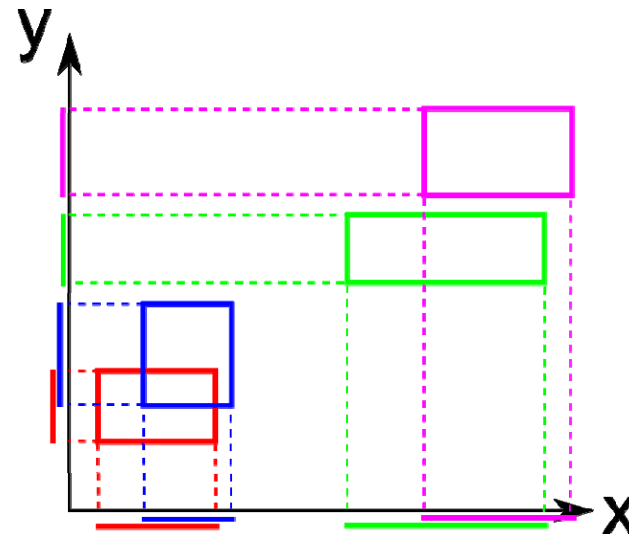
## – Zeit-Parametrisierte Fensteranfrage (TP-Window Query)

[TP02]

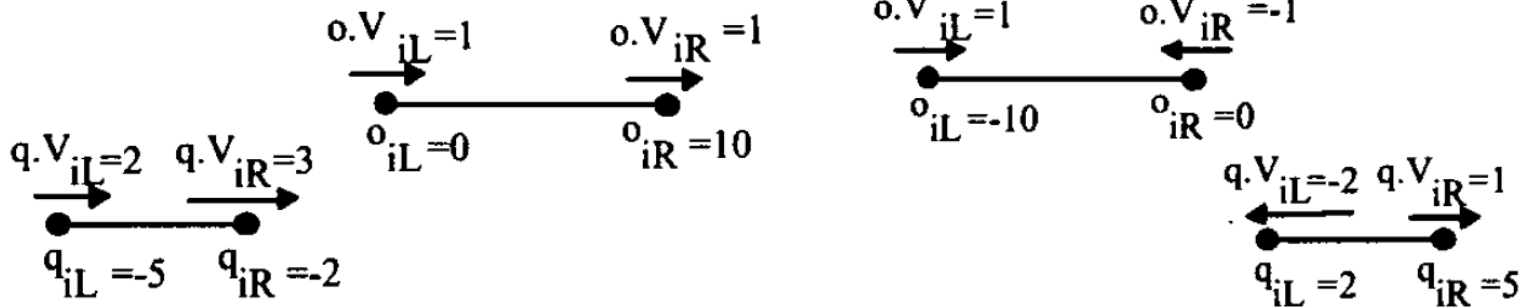
- Annahme:
  - Anfrage-Fenster und Objekte bewegen sich linear.
  - Objekte sind in einem TPR-Baum organisiert.
- Berechnung von  $T$  über *Influence Time*  $T_{INF}(o,q)$  eines Objektes  $o$  bzgl. Anfragefenster  $q$ .
- $T_{INF}$  wird nicht nur für Objekte sondern auch für Seitenregionen berechnet.
- $T$  ergibt sich aus:  $T = \min_{o \in DB} \{T_{INF}(o, q)\}$
- Für die Berechnung von  $T_{INF}(o,q)$  benötigt man die Schnitt-Periode  $[T_s, T_e)$  innerhalb der das Objekt  $o$  von  $q$  geschnitten wird.
- Beispiel:
  - $T_s(A) = 0,5; T_e(A) = 1,5; T_s(B) = 2,5$
  - Ergebnis ändert sich zum ersten mal zur Zeit  $T_s(A) = 0.5 \Rightarrow T_{INF}(A,q) = 0.5 \Rightarrow T = 0,5$



- Berechnung der Schnittperiode für Seitenregionen:
  - Schnittperiode  $[T_s, T_e)$  über Schnitt zweier dynamischer Rechtecke berechnen.
  - d-dimensionales Rechteck gegeben über:
    - » Koordinaten:  $((o_{1L}, o_{1R}), \dots, (o_{dL}, o_{dR}))$
    - » Ausdehnungsgeschwindigkeit:  $((o.v_{1L}, o.v_{1R}), \dots, (o.v_{dL}, o.v_{dR}))$
  - Zwei (statische) Rechtecke schneiden sich, wenn sie sich bzgl. aller Dimensionen schneiden.



- Wann schneiden sich dynamische Rechtecke?
  - Schnitt in jeder Dimension  $1 \leq i \leq d$  separat berechnen, d.h. die Schnittintervalle  $[T_{is}, T_{ie})$  berechnen.
  - Schnitt beginnt, wenn sich die Untergrenze des einen Rechtecks mit der Obergrenze des anderen Rechtecks trifft (und sich alle anderen Dimensionen bereits schneiden)

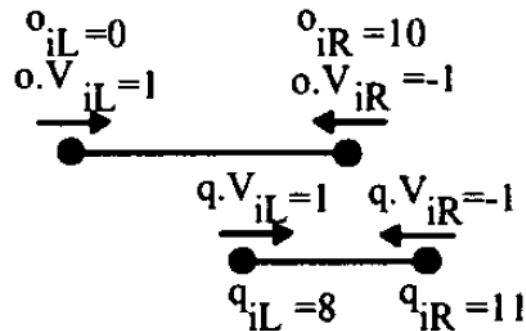


Fall 1: q liegt links von o

Fall 2: q liegt rechts von o

- $T_{iLR} = (o_{iL} - q_{iR}) / (q.V_{iR} - o.V_{iL}) = 1$  (Fall 1: rechte Grenze q schneidet linke Grenze o),  
 $T_{iLR} = \infty$ , falls  $o.V_{iL} \geq q.V_{iR}$ .
- $T_{iRL} = (o_{iR} - q_{iL}) / (q.V_{iL} - o.V_{iR}) = 2$  (Fall 2: linke Grenze q schneidet rechte Grenze o),  
 $T_{iRL} = \infty$ , falls  $o.V_{iR} \leq q.V_{iL}$ .
- $T_{is} = \min(T_{iLR}, T_{iRL})$ .

- Schnitt endet, wenn sich die Obergrenze des einen Rechtecks mit der Untergrenze des anderen Rechtecks trifft (alle anderen Dimensionen können sich weiter schneiden).
- $T_{iLR}$  und  $T_{iRL}$  werden wie zuvor berechnet.
- Für die Fälle 1 und 2 ergibt sich für  $T_{ie}$ :  $T_{ie} = \max(T_{iLR}, T_{iRL})$ .
- Für Fall 3:  $q$  wird von  $o$  zum Zeitpunkt  $t_0$  bereits geschnitten:



Fall 3:  $q$  schneidet  $o$

- $T_{is} = 0$ .
- $T_{ie} = \min(T_{iLR}, T_{iRL}) = \min(5.5, 1) = 1$ .
- $[T_s, T_e) = \bigcap_{i=1, \dots, d} [T_{is}, T_{ie})$
- $T_{INF}(o, q) = T_s$  (Fall 1 u. 2);  $T_{INF}(o, q) = T_e$  (Fall 3).

- Algorithmus zur Schnittberechnung:

**Compute\_Intersection\_Period (o,q)**
 $[T_s, T_e] = [0, \infty[$ 

For each dimension i

Betrachte den Schnitt bei jeder Dimension einzeln

$$T_{iLR} = (o_{iL} - q_{iR}) / (q \cdot V_{iR} - o \cdot V_{iL})$$

 if  $T_{iLR} < 0$  then  $T_{iLR} = \infty$ 

$$T_{iRL} = (o_{iR} - q_{iL}) / (q \cdot V_{iL} - o \cdot V_{iR})$$

 if  $T_{iRL} < 0$  then  $T_{iRL} = 0$ 

Zeitpunkt, zu dem der rechte Punkt von q den linken von o passiert

 Die Punkte treffen sich nie, falls  $T_{iLR} < 0$ 

Zeitpunkt, zu dem der rechte Punkt von o den linken von q passiert

 Die Punkte treffen sich nie, falls  $T_{iRL} < 0$ 

 if  $[o_{iL}, o_{iR}]$  does not intersect  $[q_{iL}, q_{iR}]$ 

$$T_{is} = \min(T_{iLR}, T_{iRL})$$

$$T_{ie} = \max(T_{iLR}, T_{iRL})$$

else

$$T_{is} = 0$$

$$T_{ie} = \min(T_{iLR}, T_{iRL})$$

 Zu  $t=0$  schneiden sich die beiden Intervalle noch nicht, dann:

Berechne Beginn ...

... und Ende der Intervall-Überschneidung.

 Punkte schneiden sich zu  $t = 0$  (aktueller Zeitpunkt)

Startpunkt ist dann 0, und ...

... Endzeitpunkt ist das Minimum der zwei Überschneidungen

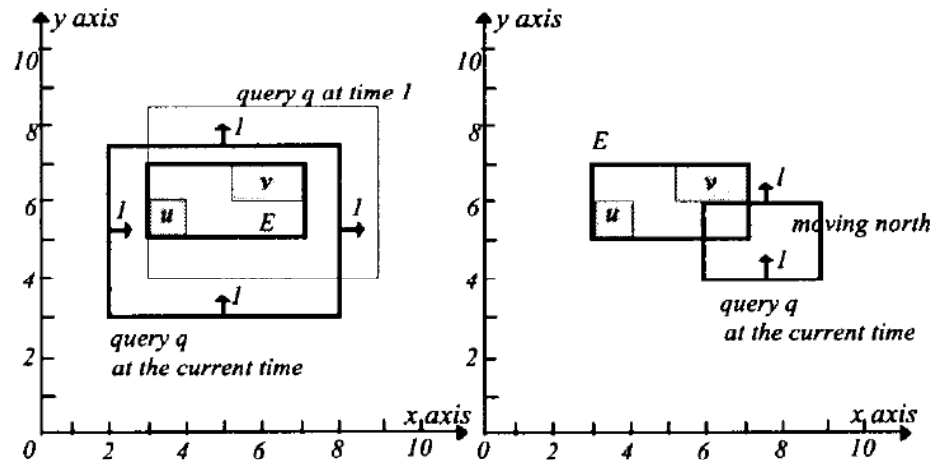
$$[T_s, T_e] = [T_s, T_e] \cap [T_{is}, T_{ie}]$$

Schneide die Intervallschnittzeiten aller Dimensionen, dadurch berechnet sich das Zeitintervall, in dem das Objekt o die Query q schneidet.

 $T_{INF}$  ist  $T_s$ , falls keine Überschneidung zu  $t=0$  und  $T_e$  sonst

 return  $[T_s, T_e]$

- Berechnung von  $T_{INF}$  für einen inneren Knoten  $E$ :
  - Ziel: Pruning von Teilbäumen, Vermeidung der Exploration von  $E$  falls möglich.
  - $T_{INF}$  der Objekte innerhalb  $E$  kann konservativ abgeschätzt werden:  
 $T_{INF}(E,q) \leq T_{INF}(e,q), \forall e \in \text{Teilbaum unter } E$ .
  - Fallunterscheidung für die Berechnung von  $T_{INF}(E,q)$ :  
 Gegeben sei  $[T_s, T_e)$  für  $E$  und  $q$ :
    - »  $T_{INF}(E,q) = T_s$ , falls zum Zeitpunkt  $t_0$   $E$   $q$  **nicht schneidet**.
    - »  $T_{INF}(E,q) = 0$ , falls zum Zeitpunkt  $t_0$   $E$   $q$  nur **teilweise schneidet**.
    - »  $T_{INF}(E,q) = T_{PI}(E,q)$ , falls zum Zeitpunkt  $t_0$   $E$  in  $q$  **vollständig enthalten** ist.  
 $T_{PI}(E,q)$  entspricht dem Zeitpunkt an dem  $E$  von  $q$  nur teilweise geschnitten wird.



- Berechnung von  $T_{PI}(E,q)$ :
  - Ähnlich zur Berechnung von  $T_{INF}(E,q)$ .
  - Dieses mal müssen nicht entgegengesetzte Intervallenden von E und q verglichen werden, sondern die gleichen
  - Wieder Reduktion auf einzelne Dimensionen möglich
  - Relevant ist die Dimension, bei der E zuerst nicht mehr in q enthalten ist

### Compute\_ $T_{PI}(E,q, [T_s, T_e])$

$T_{PI} = \infty$

For each dimension i

$$T_{iLL} = (E_{iL} - q_{iL}) / (q.V_{iL} - E.V_{iL})$$

$$T_{iRR} = (E_{iR} - q_{iR}) / (q.V_{iR} - E.V_{iR})$$

if  $T_{iLL} \in [T_s, T_e]$  and  $T_{iRR} \in [T_s, T_e]$

$$T_{iPi} = \min(T_{iLL}, T_{iRR})$$

if  $T_{iLL} \in [T_s, T_e]$  and  $T_{iRR} \notin [T_s, T_e]$

$$T_{iPi} = T_{iLL}$$

if  $T_{iLL} \notin [T_s, T_e]$  and  $T_{iRR} \in [T_s, T_e]$

$$T_{iPi} = T_{iRR}$$

if  $T_{iLL} \notin [T_s, T_e]$  and  $T_{iRR} \notin [T_s, T_e]$

$$T_{iPi} = \infty$$

$$T_{PI} = \min(T_{PI}, T_{iPi})$$

Return  $T_{PI}$

$T_{PI}$ : Zeit, zu der E nicht mehr vollständig in q enthalten ist

Betrachte wieder jede Dimension einzeln

$T_{iLL}$ : Zeit, zu der der linke Punkt von q den linken Punkt von E trifft

$T_{iRR}$ : Zeit, zu der der rechte Punkt von q den rechten Punkt von E trifft

Es ist immer der kleinere Zeitpunkt relevant. Liegen beide im Zeitintervall, zu dem sich E und q schneiden, wird das Minimum gewählt.

Liegt nur  $T_{iLL}$  im Zeitintervall, wird  $T_{iLL}$  gewählt

Liegt nur  $T_{iRR}$  im Zeitintervall, wird  $T_{iRR}$  gewählt

Liegt keiner im Zeitintervall, verlässt E niemals q, und  $T_{iPi}$  wird auf unendlich gesetzt  
Interessant ist das Minimum über alle Dimensionen, weil eine Dimension ausreicht, damit E nicht mehr vollständig in q enthalten ist



## – Zeit-Parametrisierte NN-Anfrage (TP-NN Query) [TP02]

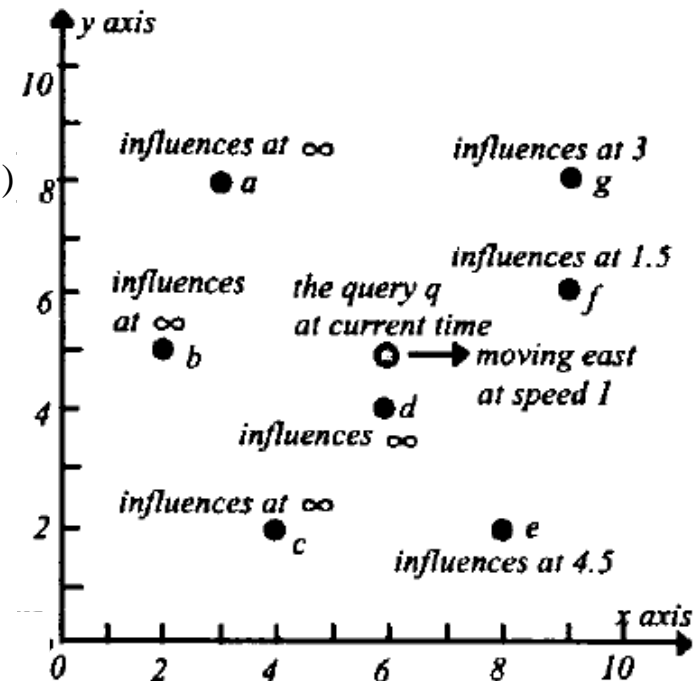
- Berechnung von T über die Berechnung von  $T_{INF}(o,q)$ ,  $\forall o \in DB$
- $T_{INF}(o,q)$  = minimale Zeit, zu der o näher an q ist als der aktuelle (d.h. zum Zeitpunkt  $t_0$ ) Nächste Nachbar  $P_{NN}$  von q.
- Berechnung von  $T_{INF}(o,q)$  für Objekte
  - $T_{INF}(o,q)$ : Zeit zu der  $dist(o(t),q(t)) = dist(P_{NN}(t),q(t))$  und  $t > 0$
  - Umformung in  $At^2+Bt+C=0$  mit (Euklidischer Distanz):

$$A = \sum_{i=1}^n [(o.V_i - q.V_i)^2 - (P_{NN}.V_i - q.V_i)^2]$$

$$B = \sum_{i=1}^n 2[(o_i - q_i)(o.V_i - q.V_i) - (P_{NNi} - q_i)(P_{NN}.V_i - q.V_i)]$$

$$C = \sum_{i=1}^n [(o_i - q_i)^2 - (P_{NNi} - q_i)^2]$$

- Falls Ungleichung für kein t gelöst werden kann: setze  $T_{INF} = \infty$
- Sonst:  $T_{INF}(o,q) = t$  mit dem die Ungleichung gelöst werden kann.



- Berechnung von  $T_{INF}(o,q)$  für Schlüssel innerer Knoten
  - Konservative Abschätzung möglich über MINDIST, dann Berechnungen aber sehr komplex (Fallunterscheidungen in MINDIST)
  - Stattdessen: MINDIST unterschätzen, um korrektes Ergebnis zu ermöglichen => orthogonale Distanz zu einer ausgewählten Kante/Seitenfläche des MBRs
    - » Fall 1: MINDIST würde über Eckpunkt des MBRs berechnet werden: Gewählte Kante ist die vom MBR am weitesten entfernte Kante, die mit dem Eckpunkt verbunden ist
    - » Fall 2: MINDIST würde über Kante berechnet werden: Wähle diese Kante
  - Sei  $l$  die gewählte Kante, dann kann wiederum die Ungleichung aufgestellt werden:

$$MINDIST(l(t), q(t)) \leq dist(P_{NN}(t), q(t)) \Leftrightarrow$$

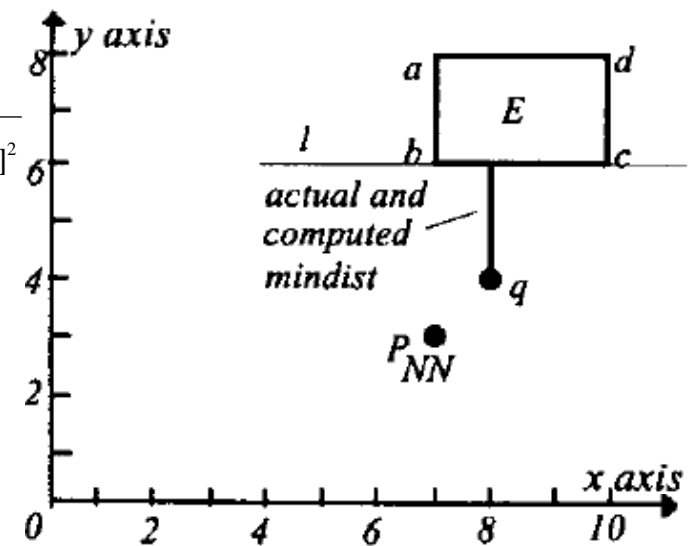
$$|(q_i - l_i) + t(q.V_i - l.V_i)| \leq \sqrt{\sum_{i=1}^n [(P_{NN_i} - q_i) + t(P_{NN.V_i} - q.V_i)]^2}$$

- Umformung ergibt eine Gleichung der Form  $At^2+Bt+C \leq 0$  mit

$$A = (l.V_i - q.V_i)^2 - \sum_{i=1}^n [P_{NN.V_i} - q.V_i]^2$$

$$B = 2(o_i - q_i)(o.V_i - q.V_i) - \sum_{i=1}^n 2(P_{NN_i} - q_i)(P_{NN.V_i} - q.V_i)$$

$$C = (l_i - q_i)^2 - \sum_{i=1}^n [(P_{NN_i} - q_i)^2]$$



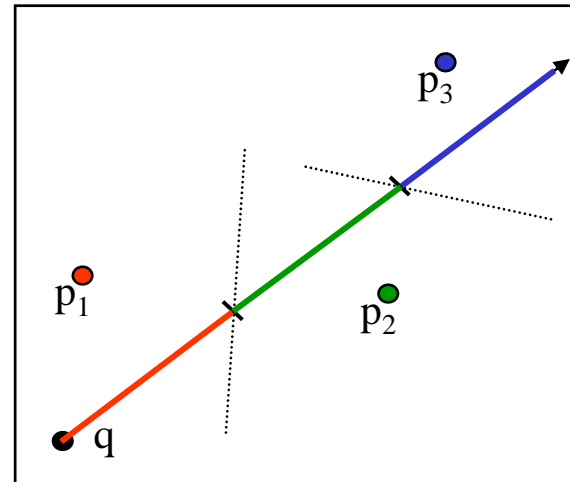
- Kontinuierliche Nächste-Nachbarn-Anfrage (CNN Query)
  - Basiert auf dem Prinzip des *Result Prediction* (siehe Kap. 3.3.2)
  - Gegeben: [TPS02]
    - Menge  $P$  von statischen Objekten (Datenbankobjekte)
    - Trajektorie  $q$  eines beweglichen Anfrageobjektes als Liniensegment  $q=[s,e]$
  - Gesucht: Ermittlung von zusammenhängenden Trajektorien/Zeit-Abschnitte für die gilt:
    - Konsistenz (bzgl. des Anfrageprädikates)
      - » Ein Trajektorien/Zeit-Abschnitt heißt *konsistent* bzgl. eines (räumlichen) Anfrageprädikates, wenn für je zwei Punkte in dem Abschnitt das entsprechende Anfrageergebnis gleich ist.
    - Vollständigkeit (Maximalität)
      - » Ein konsistenter Trajektorien/Zeit-Abschnitt  $T$  heißt *vollständig*, wenn kein weiterer konsistenter Trajektorien/Zeit-Abschnitt  $T' \neq T$  existiert, der  $T$  vollständig enthält.
  - Beispiel-Anfrage:  
„Auf meiner Fahrt von Siegen nach Erfurt, suche mir alle nächstgelegenen Tankstellen“

- Zerlegung der Trajektorie von  $q$  in vollständige und konsistente Teilsegmente  $t_i = [s_i, s_{i+1}]$ , so dass:

$$s_i, s_{i+1} \in q$$

$$\forall p_1, p_2 \in [s_i, s_{i+1}]: \exists n_1 \in NN(p_1), \exists n_2 \in NN(p_2): n_1 = n_2$$

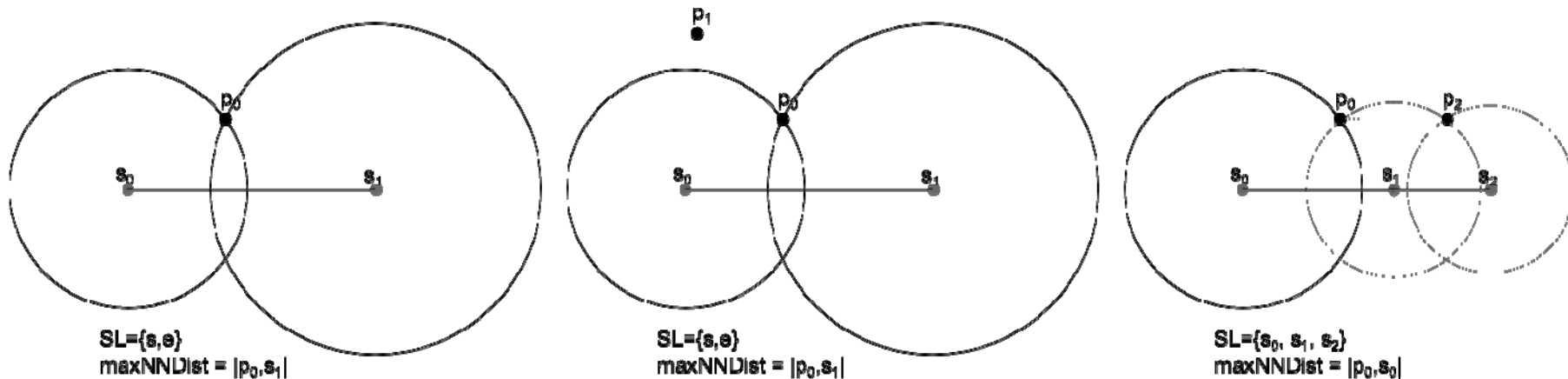
wobei  $s_0 = s$  und  $NN(p_i) =$  nächster Nachbar von  $p_i$   
(deterministisch)



Bem.: Konsistenz der Teilsegmente bezieht sich auf eine nicht-deterministische NN-Suche (Konsistenz bzgl. der offenen Intervalle).

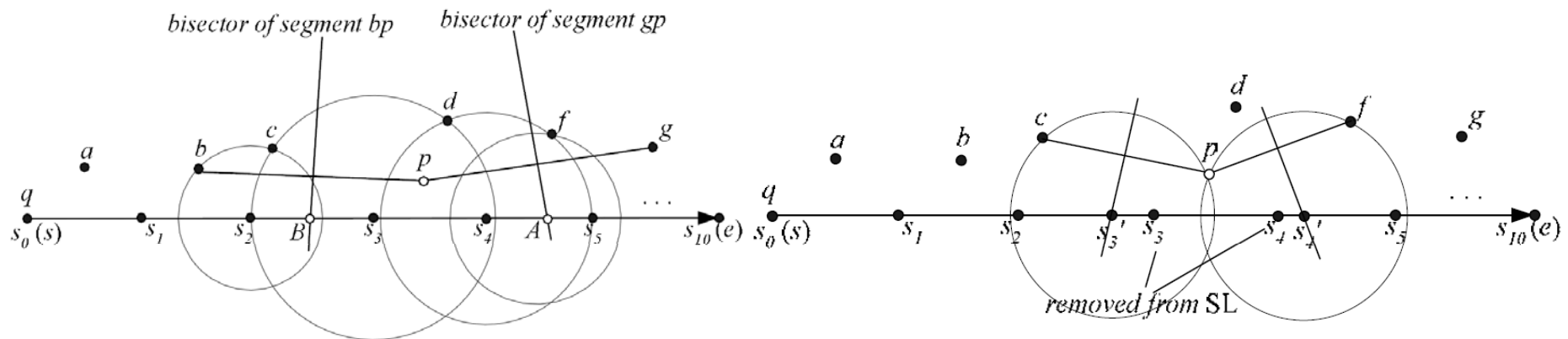
- Ausgabe von Tupeln  $(t_i, NN(s_i))$  aller Teilsegmente  $t_i$  mit entsprechenden Anfrageergebnis  $NN(s_i)$ .

- Idee:
  - SL: Liste aller Segment-Endpunkte von  $q=[s,e]$ , sortiert nach Entfernung zu  $s$ .
  - Initialisierung von SL mit Start- und Endpunkt:  $SL_{init} = [s,e]$ ,
  - $NN(s) = NN(e) = p_0$  ( $p_0$  beliebig)
  - Fällt ein weiterer Punkt  $p_i$  in die NN-Distanz  $dist(NN(s_i), s_i)$  eines Segment-Endpunktes  $s_i \in SL$ , wurde ein neuer NN für Punkte auf  $q$  gefunden
  - In diesem Fall berechne das Äquidistanzpotential AD zwischen  $NN(s_i)$  und  $p_i$  sowie den Schnittpunkt  $sp$  zwischen AD und  $q$ .
  - Füge  $sp$  in SL ein, setze  $NN(sp) = \{NN(s_i), p_i\}$



## • Kontinuität

- Sei  $S_{\text{COVER}} = \{s_i \in SL \mid \text{dist}(s_i, \text{NN}(s_i)) > \text{dist}(s_i, p)\}$
- Kontinuität: alle  $s_i \in S_{\text{COVER}}$  sind benachbart:  $S_{\text{COVER}} = \{s_i, \dots, s_{i+k}\}$
- Ermöglicht binäre Suche über  $s_i \in S_{\text{COVER}}$  (linkes Bild)
- Weitere  $s_j \in S_{\text{COVER}}$  sind immer Nachbarn von  $s_i$ . (Performanz!)
- Ermöglicht einfaches Update von SL:
  - »  $u = \text{NN}(s_{i-1}) \cap \text{NN}(s_i); v = \text{NN}(s_{i+k}) \cap \text{NN}(s_{i+k+1});$
  - »  $SL = SL \setminus S_{\text{COVER}}$
  - »  $s_i$ : neuer Segmentpunkt am Schnitt zwischen  $q$  und  $\perp(u, p)$  mit  $\text{NN}(s_i) = p$
  - »  $s_{i+1}$ : neuer Segmentpunkt am Schnitt zwischen  $q$  und  $\perp(v, p)$  mit  $\text{NN}(s_{i+1}) = p$



- Algorithmus (Depth-First):

$SL_0 = [s, e]$  // Splitpunkte; SL sei sortiert nach aufsteigender Distanz zu s

$NN(e) = NN(s) = \emptyset$  // Aktuelle NN's sind noch nicht bekannt

Function CNN-depth(R-Tree-Node N, SL, maxNNdist(SL)):

Falls N is Leaf Node:

Für alle p in N:

$S_{COVER} = \{sl \in SL \mid dist(sl, NN(sl)) > dist(sl, p)\}$  //  $S_{COVER} = \{s_i, \dots, s_{i+k}\}$ ;

$u = NN(s_{i-1}) \cap NN(s_i)$ ;  $v = NN(s_{i+k}) \cap NN(s_{i+k+1})$ ;

$SL = SL \setminus S_{COVER}$

Füge  $s_i$  : neuer Segmentpunkt am Schnitt zwischen q und  $\perp(u, p)$  mit  $NN(s_i) = p$  in SL ein

Füge  $s_{i+1}$  : neuer Segmentpunkt am Schnitt zwischen q und  $\perp(v, p)$  mit  $NN(s_{i+1}) = p$  in SL ein

update maxNNdist(SL) falls notwendig

Falls N Directory Node:

Für alle p in N sortiert nach MINDIST(p, q):

Falls  $MINDIST(p, q) > maxNNdist(SL)$ : continue; //kann immer upgedated werden, deshalb billig

Falls  $\exists sl$  in SL:  $MINDIST(p, sl) < dist(sl, NN(sl))$ : continue;

$SL = CNN\text{-depth}(p, SL, maxNNdist(SL))$

return SL

Ergebnis: alle Tupel ( $[s_i, s_{i+1}]$ ,  $\{NN(s_i) \mid NN(s_i) = NN(s_j)\}$ )

- Algorithmus (Best-First):

Function CNN-best(R-Tree-Node N, q=[s,e]):

Setzte  $SL_0 = \{s, e\}$  // Splitpunkte; SL sei sortiert nach aufsteigender Distanz zu s

Setzte aktuelle NN's:  $NN(e) = NN(s) = \emptyset$  // Aktuelle NN's sind noch nicht bekannt

APL = [N]: LIST of R-Tree-Node ORDERED by ASCENDING MINDIST to q

$\max NNdist(SL) = \infty$

while APL  $\neq \emptyset$

Hole ersten Entry F aus APL

Falls F is Leaf Entry (=Datenpunkt):

$S_{COVER} = \{sl \in SL \mid dist(sl, NN(sl)) > dist(sl, p)\}$  //  $S_{COVER} = \{s_i, \dots, s_{i+k}\}$

$u = NN(s_{i-1}) \cap NN(s_i)$ ;  $v = NN(s_{i+k}) \cap NN(s_{i+k+1})$ ;

$SL = SL \setminus S_{COVER}$

Füge  $s_i$ : neuer Segmentpunkt am Schnitt zwischen q und  $\perp(u, p)$  mit  $NN(s_i) = p$  in SL ein

Füge  $s_{i+1}$ : neuer Segmentpunkt am Schnitt zwischen q und  $\perp(v, p)$  mit  $NN(s_{i+1}) = p$  in SL ein

update  $\max NNdist(SL)$  falls notwendig

Falls N Directory Node:

Für alle p in N:

Falls  $MINDIST(p, q) > \max NNdist(SL)$ : prune p;

Falls  $\exists sl \in SL$ :  $MINDIST(p, sl) < dist(sl, NN(sl))$ : prune p;

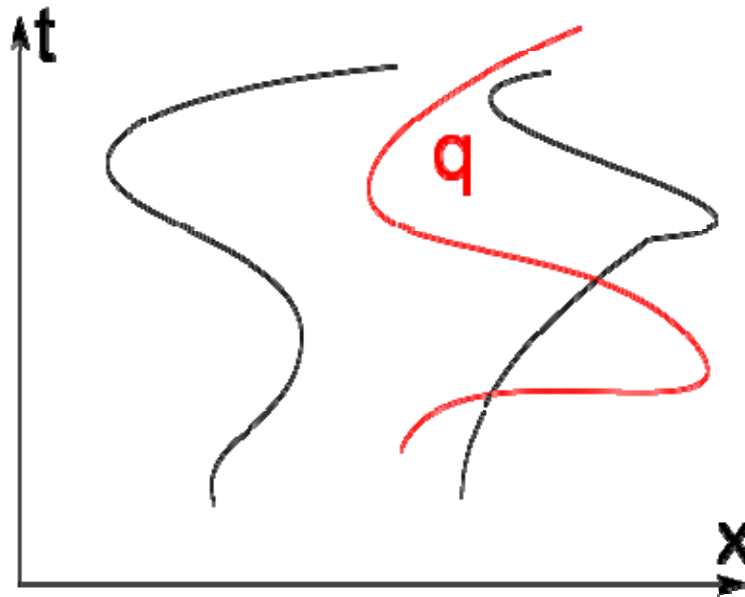
Füge p in APL ein

Ergebnis: alle Tupel ( $[s_i, s_{i+1}]$ ,  $\{NN(s_i) \mid NN(s_i) = NN(s_j)\}$ )



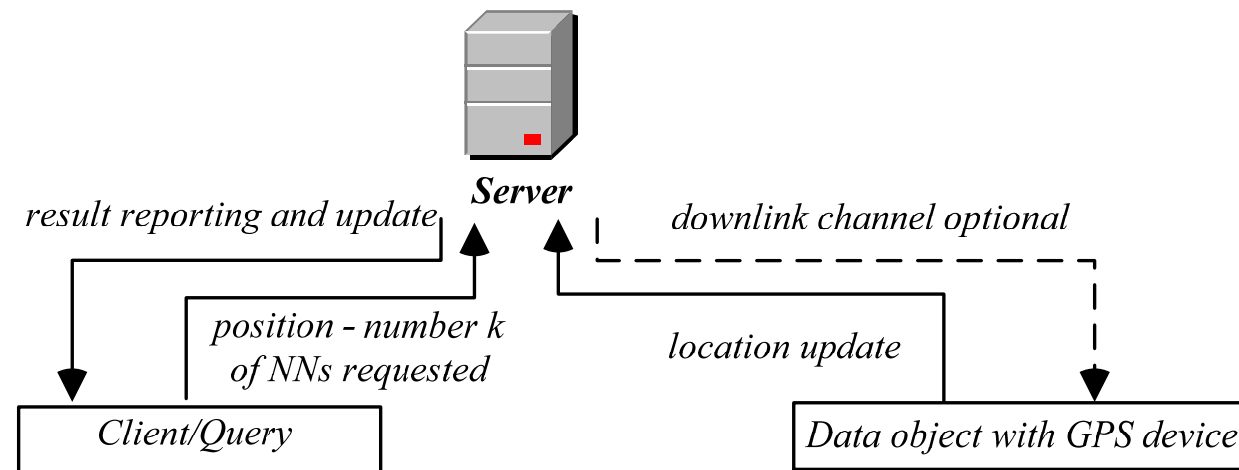
### 3.3.4 Monitoring-Anfragen

- Query wird initialisiert und soll dann über einen längeren Zeitraum eine Ergebnismenge aktuell halten
- Oft Client/Server-basiert
- Oft keine Annahmen bzgl. der Beweglichkeit der Objekte (z.B. keine Annahme einer linearen Bewegung)



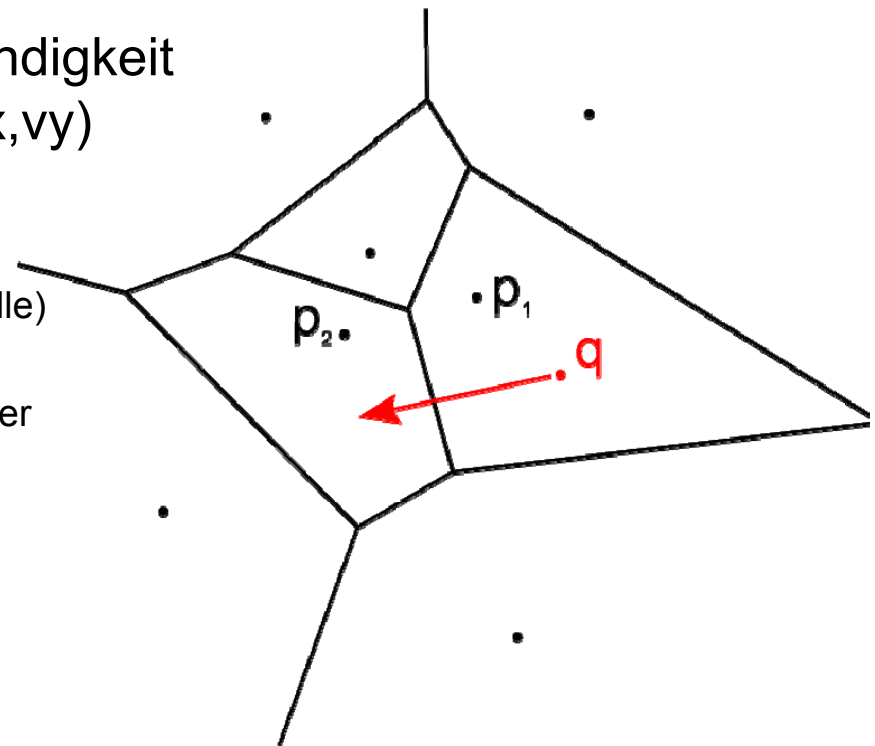
## – Continuous NN Monitoring:

- Annahmen:
  - Queries sowie Objekte in der Datenbank bewegen sich
  - Bewegung zufällig und damit unvorhersehbar
  - Zentraler Server überwacht die kNN jeder Query und sendet sie an einen Client
- Ziele:
  - CPU-Overhead des Servers minimieren
  - Netzwerklast für Ortsupdates minimieren
- Oft keine Verwendung komplexer Indices, da Updates meist sehr teuer

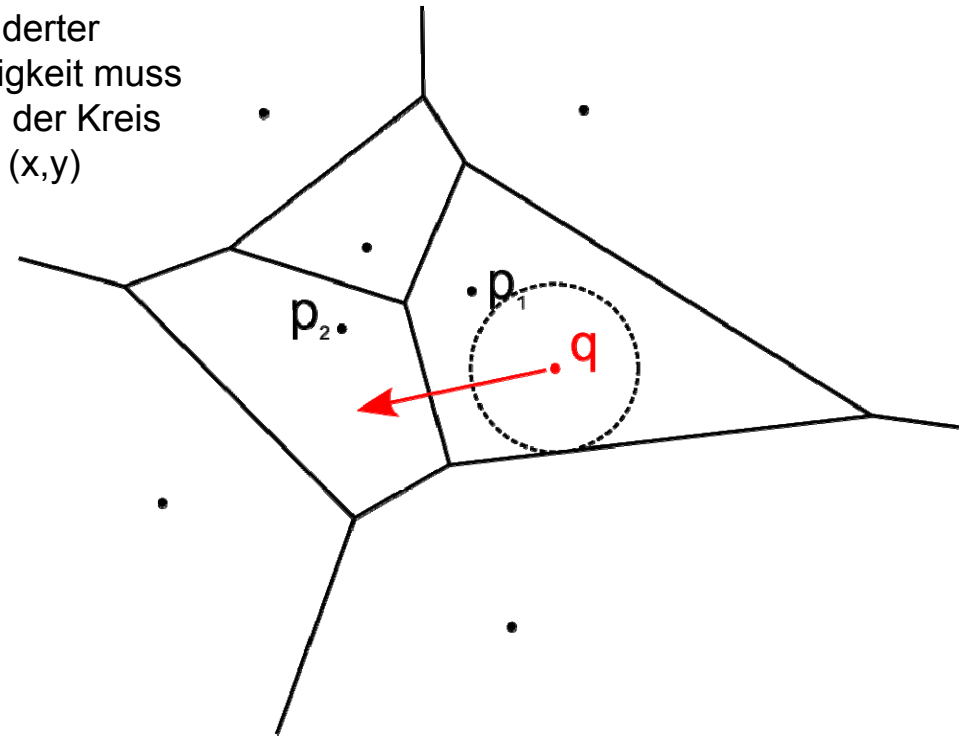


## – NN-Queries mit Validitätsinformation [ZL01]

- Ziel: NN-Anfrage eines beweglichen Objektes mit der zusätzlichen Information, wie lange das Ergebnis gültig bleiben wird
- Querying the Presence/Future
- Voronoi-Diagramm der DB wird im Voraus berechnet
- Query  $q$ : Position und Geschwindigkeit des Query-Objektes:  $q = (x, y, v_x, v_y)$
- Antwort: Tupel  $(p_1, t, p_2)$  mit
  - »  $p_1$ : Punkt aus der DB, der aktuell  $q$  am nächsten ist (über Voronoi-Zelle)
  - »  $t$ : Validitätszeitraum
  - »  $p_2$ : Punkt aus der DB, der nach der Zeit  $t$   $q$  am nächsten sein wird



- Problem: Validitätszeitraum erfordert Annahmen über das zukünftige Verhalten von  $Q$ 
  - Lösung 1: nimm lineare Bewegung und konstante Geschwindigkeit an, sende Query erneut falls sich Richtung oder Geschwindigkeit ändert
  - Lösung 2:
    - » Berechne kürzeste Distanz  $d$  von  $q$  zu einer der Kanten der umgebenden Voronoizelle -> Minimale Distanz, die auch bei Richtungsänderung zurückgelegt werden muss, um die Voronoizelle zu verlassen
    - » Eine neue Query bei geänderter Richtung oder Geschwindigkeit muss erst gestellt werden, wenn der Kreis mit Radius  $d$  und Zentrum  $(x,y)$  verlassen wurde



- [EGSV99]: M. Erwig, R. H. Güting, M. Schneider, M. Vazirgiannis. An Approach to Modeling and Querying Moving Objects Databases, In *GeoInformatica* 3(3), 1999.
- [S99]: T. Sellis. Research Issues in Spatio-temporal Database Systems. In *Proc. of SSD*, 1999
- [MGA03] M. F. Mokbel, T. M. Ghanem, W. G. Aref. Spatio-temporal Access Methods. *IEEE Data Engineering Bulletin*, 2003.
- [KGT99.pdf] G. Kollios, D. Gunopulos, V. J. Tsotras. On Indexing Mobile Objects. In *Proc. of PODS*, 1999.
- [TP02]: Y. Tao, D. Papadias. Time-Parameterized Queries in Spatio-Temporal Databases. In *Proc. of SIGMOD*, 2002.
- [TPS02]: Y. Tao, D. Papadias, Q. Shen. Continuous Nearest Neighbor Search. In *Proc. of VLDB*, 2002.
- [ZL01] B. Zheng, D. L. Lee. Semantic Caching in Location-Dependent Query Processing. In *Proc. of SSTD*, 2001.
- [PJT00]: D. Pfoser, C. S. Jensen, Y. Theodoridis. Novel Approaches to the Indexing of Moving Object Trajectories. In *Proc. of VLDB*, 2000.
- [TFPL04]: Y. Tao, C. Faloutsos, D. Papadias, B. Liu. Prediction and Indexing of Moving Objects with Unknown Motion Patterns. In *Proc. of SIGMOD*, 2004.
- [TPR00]: S. Saltenis, C. S. Jensen, S. T. Leutenegger, M. A. Lopez. Indexing the Positions of Continuously Moving Objects. In *Proc. of MOD*, 2000.
- [YPK05]: X. Yu, K. Q. Pu, N. Koudas. Monitoring k-Nearest Neighbor Queries Over Moving Objects. n.d.
- [XHL90]: X. Xu, J. Han, and W. Lu. RT-Tree: An Improved R-Tree Indexing Structure for Temporal Spatial Databases. In *Proc. of the Intl. Symp. on Spatial Data Handling, SDH*, pages 1040–1049, July 1990.
- [NS98]: M. A. Nascimento and J. R. O. Silva. Towards historical R-trees. In *Proc. of the ACM Symp. on Applied Computing, SAC*, pages 235–240, Feb. 1998.
- [TP01]: Y. Tao and D. Papadias. MV3R-Tree: A Spatio-Temporal Access Method for Timestamp and Interval Queries. In *Proc. of the Intl. Conf. on Very Large Data Bases, VLDB*, pages 431–440, Sept. 2001.

Auf die Veröffentlichungen kann vom Uni-Netzwerk aus zugegriffen werden.